

- № 12. -Р. 660, 661.
3. *Гопиенко В.Г., Черепанов В.П., Зотикова А.Н. и др.* // Цвет. металлургия. -2000. -№ 1. -С. 65—68.
  4. *Колбанев И.В., Бутягин П.Ю., Стрелецкий А.Н.* // Хим. физика. -2000. -19, № 8. -С. 96—98.
  5. *А.с. 1699896 СССР, МКИС 01 В 3/08/.* -Опубл. 23.12.91. -Бюл. изобрет. № 47.
  6. *Шейдлин А.Е., Жук А.З.* // Рос. хим. журн. -2006. -50, № 6. -С. 105—108.
  7. *Pat. 1436733, Англия.* -Опубл. 26.05.76.
  8. *А.с. 535364 СССР, МКл С22, С21/00.* -Опубл. 15.11.76. -Бюл. изобрет. № 42.
  9. *Козин Л.Ф., Сахаренко В.А.* // Журн. прикл. химии. -1990. -58, № 3. -С. 542—550.
  10. *Козин Л.Ф., Волков С.В., Гончаренко С.Г. и др.* // Укр. хим. журн. -2009. -75, № 11. -С. 3—9.
  11. *Козин Л.Ф., Волков С.В., Гончаренко С.Г., Данильцев Б.И.* // Наук. звітна сесія “Фундаментальні проблеми водневої енергетики”, 12–13 листопада 2008 року. -Київ, 2008.
  12. *Pat. № 35192, Україна. (19) UA МПК С01В 3/012.* -Опубл. 10.09.2008.
  13. *Козин Л.Ф., Сахаренко В.А.* // Укр. хим. журн. -1984. -50, № 1.-С. 9—15.
  14. *Козин Л.Ф., Сахаренко В.А., Бударина А.Н.* // Там же . -1984. -50, № 2. -С. 161—169.
  15. *Milazzo G., Caroli S.* Tables of standard Electrode Potentials. -New York: J. Wiley and Sone, 1978.
  16. *Даркен Л.С., Гурри Р.В.* Физическая химия металлов. -М.: Металлургиздат, 1980.
  17. *Козин Л.Ф.* Амальгамная пирометаллургия. Физико-химические основы. -Алма-Ата: Наука, 1973.
  18. *Хансен М., Андерко К.* Структуры двойных сплавов. -М.: Металлургиздат, 1962. -Т. 1.
  19. *Элиот Р.П.* Структуры двойных сплавов. -М.: Металлургия, 1970. -Т. 1.
  20. *Шанк Ф.* Структуры двойных сплавов. -М.: Металлургия, 1973.
  21. *Польвянный И.Р., Абланов А.Д., Батырбекова С.А., Сысоев Л.И.* Металлургия висмута. -Алма-Ата: Наука,
  22. *Иванова Р.В.* Химия и технология галлия. -М.: Металлургия, 1973.
  23. *Ниженко В.И., Флока Л.И.* Поверхностное натяжение жидких металлов и сплавов. Справочник. -М.: Металлургия, 1981.
  24. *Коррозия.* Справочник / Под ред. Л.Л. Шрайера, пер. с англ. -М.: Металлургия, 1981.

Институт общей и неорганической химии  
им. В.И. Вернадского НАН Украины, Киев

Поступила 02.07.2009

УДК 546.18+546.824+541.48

**О.А. Брусиловец, О.В. Виніченко, А.І. Брусиловец, Р.Д. Лампека**

## **РЕАКЦІЇ ТЕТРААЛКОКСИДІВ ГЕРМАНІЮ ЗІ СПОЛУКАМИ ДВОКООРДИНОВАНОГО ФОСФОРУ, ЯКІ МІСТЯТЬ КРАТНІ P=N-ЗВ'ЯЗКИ**

Встановлено, що при взаємодії алкоксидів германію складу  $\text{Ge}(\text{OR})_4$  ( $\text{R} = \text{Me}, \text{Et}$ ) зі сполуками  $(\text{Me}_3\text{Si})_2\text{NPNSiMe}_3$  та  $(\text{Me}_3\text{Si})_2\text{NPNCMe}_3$  у середовищі бензолу протікають реакції 1,2-приєднання по кратному зв'язку  $\text{P}=\text{N}$ , які приводять до утворення чотиричленних германовмісних гетероциклів, замкнутих містковим атомом кисню алкоксидної групи. Висновки про перебіг хімічних реакцій та будову одержаних сполук зроблені на основі ЯМР-спектроскопії ( $^{31}\text{P}$ ,  $^{13}\text{C}$ ,  $^1\text{H}$ ). Вивчено деякі хімічні властивості одержаних сполук.

Останні три десятиліття ознаменувалися стрімким розвитком хімії сполук двокоординованого тривалентного та трикоординованого п'ятивалентного фосфору, що містять кратні зв'язки фосфор–нітроген. Вони мають високу реакційну здатність і легко вступають у реакції з органічними, неорганічними та металоорганічними сполуками [1]. Вивчення таких реакцій є перспективним для одержання нових типів координаційних та металоорганічних сполук.

Раніше [2] нами було показано, що при взаємодії сполук типу  $(\text{Me}_3\text{Si})_2\text{NPNSiMe}_3$  (1) і  $(\text{Me}_3\text{Si})_2\text{NPNCMe}_3$  (2) з алкоксидами та алкоксихлоридами титану легко протікають реакції 1,2-приєднання по кратному  $\text{P}=\text{N}$ -зв'язку, які приводять до утворення чотиричленних титановмісних гетероциклів, замкнутих містковим атомом кисню алкоксидної групи. Отримані таким шляхом сполуки, як правило, містять у своєму складі атоми металу з незвичайними координаційними числами,

© О.А. Брусиловец, О.В. Виніченко, А.І. Брусиловец, Р.Д. Лампека, 2010

що може бути важливим при їхньому практичному застосуванні.

Враховуючи зазначене вище, нами була вивчена взаємодія алкоксидів германію складу  $\text{Ge}(\text{OR})_4$ , де  $\text{R} = \text{Me}, \text{Et}$ , зі сполуками 1 та 2.

Усі експериментальні дослідження були проведені при використанні стандартних методів роботи Шленка в середовищі аргону. Органічні розчинники перед використанням ретельно абсолютувалися.

ЯМР-спектроскопічні дослідження проведені на приладі Varian "Mercury" з робочою частотою 400 МГц. Як дейтерований розчинник використовувався  $\text{C}_6\text{D}_6$ . Хімічні зсуви приведені в м.ч. по відношенню до  $\text{SiMe}_4$  як внутрішнього стандарту ( $^1\text{H}$ ,  $^{13}\text{C}$ ) і 85%  $\text{H}_3\text{PO}_4$  — як зовнішнього стандарту ( $^{31}\text{P}$ ). Сполуки 1 та 2 одержані за методиками [3, 4]. Алкокси германію синтезовано згідно з роботою [5].

Було встановлено, що при взаємодії алкоксидів германію складу  $\text{Ge}(\text{OR})_4$ , де  $\text{R} = \text{Me}, \text{Et}$ , зі сполукою 1 у середовищі органічного розчинника (бензен, толуен, гексен) легко протікають реакції 1,2-приєднання по кратному  $\text{P}=\text{N}$ -зв'язку, як це показано на схемі 1. При цьому утворюються чотиричленні германійвмісні гетероцикли, замкнуті містковим атомом кисню алкоксидної групи. Висновок про такий шлях протікання реакції зроблений нами на підставі даних ЯМР-спектрос-

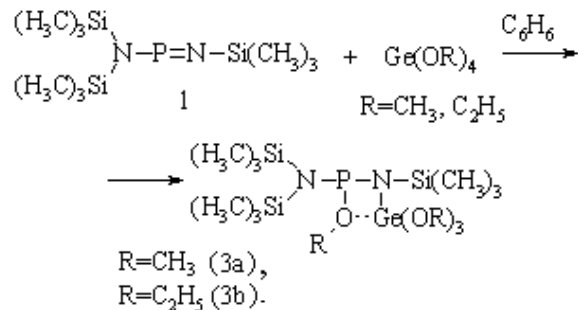


Схема 1.

копії  $^{31}\text{P}$ ,  $^{13}\text{C}$  і  $^1\text{H}$  (таблиця). Як видно з цих даних, хімічний зсув фосфору для сполук 3а і 3б знаходиться при 158.4 та 154.9 м.ч., що характерно для трикоординованого фосфору з подібним оточенням [6]. З іншого боку, одержані нами дані ЯМР-спектроскопії дуже близькі до тих, які ми отримали раніше при вивченні взаємодії алкоксидів титану зі сполукою 1 [6]. У цьому випадку будова продуктів реакції була встановлена за даними рентгеноструктурних досліджень [7].

Сполуки 3а і 4b можуть бути виділені в чистому стані відразу ж після завершення реакції (3—4 доби) і відгонки розчинника у вакуумі. Вони являють собою в'язкі безкольорові рідини, що стабільні в інертній атмосфері. Їх індивідуальність доведена даними елементного аналізу та ЯМР-спектроскопічними дослідженнями (таблиця).

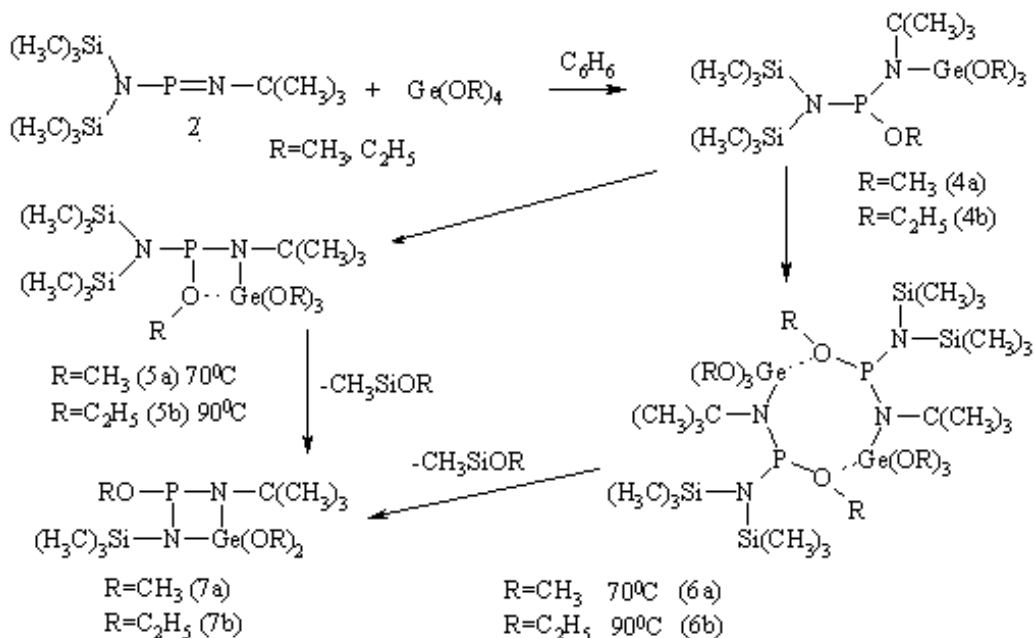


Схема 2.

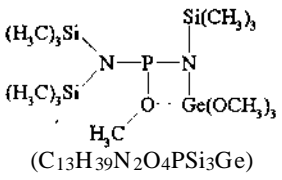
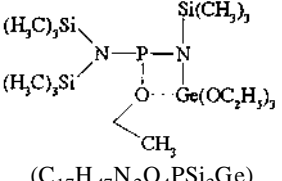
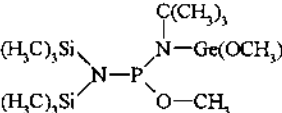
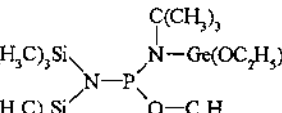
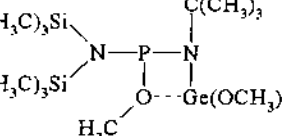
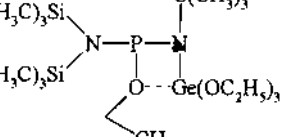
Цікаво зазначити, що тетраізопропоксид германію не реагує зі сполуками 1 та 2 навіть при нагріванні.

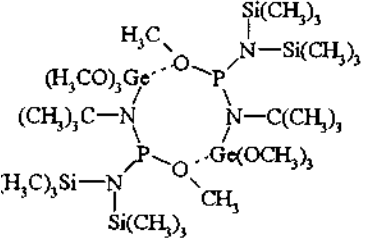
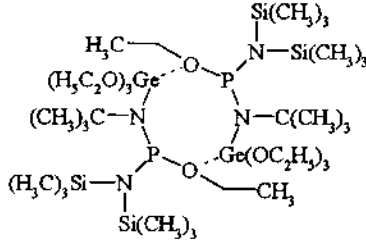
Значно складніше протікають реакції алкоксидів германію зі сполукою 2. Реакція тетраметоксиду германію зі сполукою 2 у середовищі бензолу при кімнатній температурі завершується через сім діб. Її результатом є утворення чотирьох сполук з  $\delta^{31}\text{P}$  (м.ч.): 146.7 (4a), 159.4 (5a), 140.10 (6a) і 123 (7a) та їх вмістом, %: 30, 60, 5 та 4 відповідно.

В ЯМР-спектрі  $^{13}\text{C}$  реакційної суміші приведеного вище складу, яка містить в основному сполуки 4a та 5a, легко розділити сигнали цих двох сполук (таблиця). Порівнюючи ці дані з тими, які ми одержали раніше при вивченні взаємодії сполуки 2 з алкоксидами титану [8], можна зробити висновок, що реакція протікає згідно зі схемою 2.

На першому етапі йде реакція 1,2-приєднання по кратному  $\text{P}=\text{N}$ -зв'язку з утворенням сполуки 4a. На другій стадії сполука 4a перетворює-

#### Дані ЯМР-спектроскопії сполук 3—7

Сполука	Бруто-формула	C	H	N	Ge	ЯМР-спектроскопічні дані ( $\delta$ , м.ч.; $J$ , Гц)
3a	 (C <sub>13</sub> H <sub>39</sub> N <sub>2</sub> O <sub>4</sub> PSi <sub>3</sub> Ge)	32.87* 32.65	8.21 8.30	5.89 5.60	15.29 15.10	$^{31}\text{P}$ 158.4; $^1\text{H}$ 0.42 (с, 18H, N(Si(CH <sub>3</sub> ) <sub>3</sub> ) <sub>2</sub> ), 0.48 (с, 9H, NSi(CH <sub>3</sub> ) <sub>3</sub> ), 3.31 (д, 3H, $^3J_{\text{PH}}=14.4$ Гц, POCH <sub>3</sub> ), 3.65 (с, 9H, Ge(OCH <sub>3</sub> ) <sub>3</sub> ); $^{13}\text{C}$ 3.22 (д, $^3J_{\text{PC}}=7$ Гц, NSi(CH <sub>3</sub> ) <sub>3</sub> ), 4.59 (д, $^3J_{\text{PC}}=8$ Гц, N(Si(CH <sub>3</sub> ) <sub>3</sub> ) <sub>2</sub> ), 51.57 (с, Ge(OCH <sub>3</sub> ) <sub>3</sub> ), 51.51 (д, $^2J_{\text{PC}}=25$ Гц, POCH <sub>3</sub> )
3b	 (C <sub>17</sub> H <sub>47</sub> N <sub>2</sub> O <sub>4</sub> PSi <sub>3</sub> Ge)	38.44 38.25	8.85 8.68	5.89 5.10	13.68 13.50	$^{31}\text{P}$ 154.9; $^1\text{H}$ 0.44 (с, 18H, N(Si(CH <sub>3</sub> ) <sub>3</sub> ) <sub>2</sub> ), 0.49 (с, 9H, NSi(CH <sub>3</sub> ) <sub>3</sub> ), 1.26 (т, 3H, POCH <sub>2</sub> CH <sub>3</sub> ), 1.27 (т, 9H, Ge(OC <sub>2</sub> H <sub>5</sub> ) <sub>3</sub> ), 3.75 (м, 2H, POCH <sub>2</sub> CH <sub>3</sub> ), 3.96 (к, 6H, Ge(OC <sub>2</sub> H <sub>5</sub> ) <sub>3</sub> ); $^{13}\text{C}$ 3.69 (д, $^3J_{\text{PC}}=7$ Гц, NSi(CH <sub>3</sub> ) <sub>3</sub> ), 4.80 (д, $^3J_{\text{PC}}=9$ Гц, N(Si(CH <sub>3</sub> ) <sub>3</sub> ) <sub>2</sub> ), 16.20 (д, $^3J_{\text{PC}}=8$ Гц, POCH <sub>2</sub> CH <sub>3</sub> ), 18.28 (с, GeOC <sub>2</sub> H <sub>5</sub> ), 59.4 (с, GeOC <sub>2</sub> H <sub>5</sub> ), 60.92 (д, $^2J_{\text{PC}}=25$ Гц, POCH <sub>2</sub> CH <sub>3</sub> )
4a		—	—	—	—	$^{31}\text{P}$ 146.7; $^{13}\text{C}$ 3.08 (д, $^3J_{\text{PC}}=6$ Гц, N(Si(CH <sub>3</sub> ) <sub>3</sub> ) <sub>2</sub> ), 6.7 (д, $^3J_{\text{PC}}=21$ Гц, N(Si(CH <sub>3</sub> ) <sub>3</sub> ) <sub>2</sub> ), 33.43 (д, $^3J_{\text{PC}}=3$ Гц, C(CH <sub>3</sub> ) <sub>3</sub> ), 51.44 (с, Ge(OCH <sub>3</sub> )), 51.68 (д, $^2J_{\text{PC}}=26$ Гц, POCH <sub>3</sub> ), 59.45 (с, C(CH <sub>3</sub> ) <sub>3</sub> )
4b		—	—	—	—	$^{31}\text{P}$ 143.7; $^{13}\text{C}$ 3.52 (д, $^3J_{\text{PC}}=6$ Гц, N(Si(CH <sub>3</sub> ) <sub>3</sub> ) <sub>2</sub> ), 6.81 (д, $^3J_{\text{PC}}=23$ Гц, N(Si(CH <sub>3</sub> ) <sub>3</sub> ) <sub>2</sub> ), 16.21 (д, $^3J_{\text{PC}}=7$ Гц, POCH <sub>2</sub> CH <sub>3</sub> ), 18.35 (с, GeOCH <sub>2</sub> CH <sub>3</sub> ), 33.58 (д, $^3J_{\text{PC}}=2$ Гц, C(CH <sub>3</sub> ) <sub>3</sub> ), 57.17 (д, $^2J_{\text{PC}}=11$ Гц, C(CH <sub>3</sub> ) <sub>3</sub> ), 59.21 (с, Ge(OCH <sub>2</sub> CH <sub>3</sub> )), 61.05 (д, $^2J_{\text{PC}}=25$ Гц, POCH <sub>2</sub> CH <sub>3</sub> )
5a		—	—	—	—	$^{31}\text{P}$ 159.43; $^{13}\text{C}$ 4.53 (д, $^3J_{\text{PC}}=8$ Гц, N(Si(CH <sub>3</sub> ) <sub>3</sub> ) <sub>2</sub> ), 33.11 (д, $^3J_{\text{PC}}=9$ Гц, C(CH <sub>3</sub> ) <sub>3</sub> ), 51.49 (с, GeOCH <sub>3</sub> ), 52.54 (д, $^2J_{\text{PC}}=28$ Гц, POCH <sub>3</sub> ), 55.15 (д, $^3J_{\text{PC}}=13$ Гц, C(CH <sub>3</sub> ) <sub>3</sub> )
5b		—	—	—	—	$^{31}\text{P}$ 154.58; $^{13}\text{C}$ 4.76 (д, $^3J_{\text{PC}}=8$ Гц, N(Si(CH <sub>3</sub> ) <sub>3</sub> ) <sub>2</sub> ), 16.14 (д, $^3J_{\text{PC}}=8$ Гц, POCH <sub>2</sub> CH <sub>3</sub> ), 18.42 (с, GeOCH <sub>2</sub> CH <sub>3</sub> ), 33.18 (д, $^3J_{\text{PC}}=8$ Гц, C(CH <sub>3</sub> ) <sub>3</sub> ), 56.25 (д, $^3J_{\text{PC}}=11$ Гц, C(CH <sub>3</sub> ) <sub>3</sub> ), 59.39 (с, GeOCH <sub>2</sub> CH <sub>3</sub> ), 61.79 (д, $^2J_{\text{PC}}=28$ Гц, POCH <sub>2</sub> CH <sub>3</sub> )

Сполука	Бруто-формула	C	H	N	Ge	ЯМР-спектроскопічні дані (δ, м.ч.; J, Гц)
6a		—	—	—	—	<sup>31</sup> P 140.1; <sup>13</sup> C N(Si(CH <sub>3</sub> ) <sub>3</sub> ) <sub>2</sub> 4.07 (д, <sup>3</sup> J <sub>PC</sub> =8 Гц, NSi(CH <sub>3</sub> ) <sub>3</sub> ) <sub>2</sub> , 32.26 (д, <sup>3</sup> J <sub>PC</sub> =9 Гц, C(CH <sub>3</sub> ) <sub>3</sub> ), 49.83 (д, <sup>2</sup> J <sub>PC</sub> =18 Гц, POCH <sub>3</sub> ), 50.74 (с, GeOCH <sub>3</sub> ), 50.97 (с, GeOCH <sub>3</sub> ), 52.63 (с, GeOCH <sub>3</sub> ), 51.46 (д, <sup>2</sup> J <sub>PC</sub> =3 Гц, C(CH <sub>3</sub> ) <sub>3</sub> )
6b		—	—	—	—	<sup>31</sup> P 136.12; <sup>13</sup> C 4.13 (д, <sup>3</sup> J <sub>PC</sub> =8 Гц, N(Si(CH <sub>3</sub> ) <sub>3</sub> ) <sub>2</sub> , 16.79 (д, <sup>3</sup> J <sub>PC</sub> =8 Гц, POCH <sub>2</sub> CH <sub>3</sub> ), 18.42 (с, GeOCH <sub>2</sub> CH <sub>3</sub> ), 32.27 (д, <sup>3</sup> J <sub>PC</sub> =9 Гц, C(CH <sub>3</sub> ) <sub>3</sub> ), 49.87 (д, <sup>2</sup> J <sub>PC</sub> =15 Гц, C(CH <sub>3</sub> ), 59.73 (д, <sup>2</sup> J <sub>PC</sub> =22 Гц, POCH <sub>2</sub> CH <sub>3</sub> ), 60.64 (с, GeOCH <sub>2</sub> CH <sub>3</sub> )
7a	$\begin{array}{c} \text{H}_3\text{C}-\text{O}-\text{P}-\text{N}-\text{C}(\text{CH}_3)_3 \\   \quad   \quad   \\ (\text{H}_3\text{C})_3\text{Si}-\text{N}-\text{Ge}(\text{OCH}_3)_2 \end{array}$	$\frac{33.84}{33.69}$	$\frac{7.67}{7.49}$	$\frac{7.89}{7.61}$	$\frac{20.47}{20.25}$	<sup>31</sup> P 123.0; <sup>1</sup> H 0.26 (с, 9H, N(Si(CH <sub>3</sub> ) <sub>3</sub> ) <sub>2</sub> , 1.28 (с, 9H, C(CH <sub>3</sub> ) <sub>3</sub> ), 3.42 (д, 3H, <sup>3</sup> J <sub>PH</sub> =9 Гц, POCH <sub>3</sub> ), 3.55 (с, 3H, GeOCH <sub>3</sub> ), 3.76 (с, 3H, GeOCH <sub>3</sub> ); <sup>13</sup> C 1.07 (д, <sup>3</sup> J <sub>PC</sub> =3 Гц, NSiCH <sub>3</sub> ), 32.29 (д, <sup>3</sup> J <sub>PC</sub> =6 Гц, C(CH <sub>3</sub> ) <sub>3</sub> ), 43.12 (д, <sup>2</sup> J <sub>PC</sub> =3 Гц, POCH <sub>3</sub> ), 51.26 (д, <sup>2</sup> J <sub>PC</sub> =6 Гц, C(CH <sub>3</sub> ) <sub>3</sub> ), 51.31 (с, GeOCH <sub>3</sub> ), 52.42 (с, GeOCH <sub>3</sub> )
7b	$\begin{array}{c} \text{H}_5\text{C}_2-\text{O}-\text{P}-\text{N}-\text{C}(\text{CH}_3)_3 \\   \quad   \quad   \\ (\text{H}_3\text{C})_3\text{Si}-\text{N}-\text{Ge}(\text{OC}_2\text{H}_5)_2 \\ (\text{C}_{13}\text{H}_{33}\text{GeN}_2\text{O}_3\text{PSi}) \end{array}$	$\frac{39.32}{39.30}$	$\frac{8.32}{8.11}$	$\frac{7.06}{6.80}$	$\frac{18.30}{18.15}$	<sup>31</sup> P 125.5; <sup>1</sup> H 0.29 (с, 9H, N(Si(CH <sub>3</sub> ) <sub>3</sub> ) <sub>2</sub> , 1.21 (м, 3H, POCH <sub>3</sub> ), 1.23 (м, 3H, GeOCH <sub>3</sub> ), 1.29 (м, 3H, GeOCH <sub>3</sub> ), 1.32 (с, 9H, C(CH <sub>3</sub> ) <sub>3</sub> ), 3.88 (к, 2H, GeOCH <sub>3</sub> ), 3.93 (м, 2H, <sup>3</sup> J <sub>PH</sub> =6.8 Гц, POCH <sub>3</sub> ), 4.41 (к, 2H, GeOCH <sub>3</sub> ); <sup>13</sup> C: 1.31 (д, <sup>3</sup> J <sub>PC</sub> =3 Гц, N(Si(CH <sub>3</sub> ) <sub>3</sub> ) <sub>2</sub> , 16.27 (д, <sup>3</sup> J <sub>PC</sub> =4 Гц, POCH <sub>3</sub> ), 18.10 (с, GeOCH <sub>3</sub> ), 18.69 (с, GeOCH <sub>3</sub> ), 32.44 (д, <sup>3</sup> J <sub>PC</sub> =6 Гц, C(CH <sub>3</sub> ) <sub>3</sub> ), 51.37 (д, <sup>2</sup> J <sub>PC</sub> =6 Гц, C(CH <sub>3</sub> ), 52.73 (с, POCH <sub>2</sub> CH <sub>3</sub> ), 59.51 (с, GeOCH <sub>2</sub> CH <sub>3</sub> ), 60.33 (с, GeOCH <sub>2</sub> CH <sub>3</sub> )

\* У чисельнику — розраховано, в знаменнику — знайдено (%).

ється в сполуку 5a шляхом замикання чотиричленного германовмісного гетероциклу містковим атомом кисню метоксидної групи.

Можна припустити, що, крім цього шляху переходу сполуки 4a у більш стабільний стан 5a, існує й інший шлях, пов'язаний з її димеризацією за рахунок двох місткових атомів кисню меток-

сидної групи з утворенням восьмичленного гетероциклу сполуки 6a. Всі три сполуки мають близьку хімічну природу (трикоординований фосфор з однаковим оточенням), що підтверджується їхнім перетворенням в одну сполуку (7a) при нагріванні реакційної суміші до 70 °C протягом 20 год. Сполука 7a може бути виділена в чистому

стані після видалення розчинника у вакуумі. За даними ЯМР-спектроскопії (таблиця) можна зробити висновок, що утворення сполуки 7a обумовлено реакцією, що приведена на схемі 2.

При кімнатній температурі з часом вміст сполук 4a та 5a зменшується, а 6a та 7a — збільшується. Аналізуючи зміни вмісту чотирьох сполук у реакційній суміші з часом, можна зробити висновок, що сполука 5a перетворюється в 7a, а сполука 4a — у 5a та 7a. Реакційна суміш після перебування при кімнатній температурі протягом 70 діб має склад, %: 3 (4a), 7 (5a), 39 (6a), 54 (7a). Нагрівання цієї суміші при 70 °C протягом 3 год приводить до повного перетворення сполук 4a та 5a і вона має склад, %: 39 (6a) і 61 (7a).

У ЯМР-спектрі  $^{13}\text{C}$  цієї суміші легко розділити сигнали двох сполук — 6a та 7a (таблиця). Як видно з цих даних, три метоксидні групи біля атома германію в сполуках 4a та 5a були еквівалентними, тоді як в сполуці 6a вони стають не еквівалентними (50.74, 50.97, 52.63 м.ч.). На нашу думку, такі зміни обумовлені фіксацією двох атомів германію в циклі при димеризації сполуки 4a. Але спираючись тільки на ці дані, неможливо зробити остаточні висновки про будову сполуки 6a.

Реакція тетраоксиду германію зі сполукою 2 протікає значно повільніше та завершується через п'ять тижнів (схема 2). Її результатом є утворення чотирьох сполук з  $\delta^{31}\text{P}$  (м.ч.): 143 (4b), 154 (5b), 136.1 (6b) 125.5 (7b), їх вміст складає, %: 27 (4b), 37 (5b), 25 (6b), 11 (7b) відповідно. Склад цієї суміші змінюється з часом. Закономірності зміни складу, які ми спостерігали у випадку реакції  $\text{Ge}(\text{OMe})_4$  зі сполукою 2, в повній мірі відносяться для реакції  $\text{Ge}(\text{OEt})_4$  зі сполукою 2.

Нагрівання реакційної суміші складу, %: 27 (4b), 37 (5b), 25 (6b), 11 (7b) до 90 °C протягом 30 год приводить до утворення сполуки 7b (схема 2). Ця сполука може бути виділена в чистому стані після видалення розчинника у вакуумі. Виснов-

ки про її будову зроблено на підставі даних хімічного аналізу та ЯМР-спектроскопії (таблиця).

**РЕЗЮМЕ.** Установлено, що при взаємодії алкоксидів германію состава  $\text{Ge}(\text{OR})_4$  ( $\text{R} = \text{Me}, \text{Et}$ ) с соединениями  $(\text{Me}_3\text{Si})_2\text{NPNSiMe}_3$  и  $(\text{Me}_3\text{Si})_2\text{NPNCMe}_3$  в среде бензола протекают реакции 1,2-присоединения по кратной связи  $\text{P}=\text{N}$ , которые приводят к образованию четырехчленных германийсодержащих гетероциклов, замкнутых мостиковым атомом кислорода алкоксидной группы. Выводы о ходе химических реакций и строении полученных соединений сделаны на основе ЯМР-спектроскопии ( $^{31}\text{P}$ ,  $^{13}\text{C}$ ,  $^1\text{H}$ ). Изучены некоторые химические свойства полученных соединений.

**SUMMARY.** The interaction of germanium tetraalkoxides  $\text{Ge}(\text{OR})_4$  ( $\text{R} = \text{Me}, \text{Et}$ ) with compounds  $(\text{Me}_3\text{Si})_2\text{NPNSiMe}_3$  and  $(\text{Me}_3\text{Si})_2\text{NPNCMe}_3$  in benzene solution proceed reactions 1,2-addition to double bond of  $\text{P}=\text{N}$  which lead to formation of four-membered heterocycles closed bridge bond of atom of oxygen alkoxides groups. Conclusions about a course of chemical reactions and a structure of compounds are made on the basis of a NMR spectroscopy ( $^{31}\text{P}$ ,  $^{13}\text{C}$ ,  $^1\text{H}$ ). Some chemical properties of the compounds are investigated.

1. Regitz M., Scherer O.J. // Multiple Bonds and Low Coordination in Phosphorus Chemistry. -New York: Thieme Publ. Group, 1990.
2. Brusilovets A., Bdjhola V., Lis T., Sovitsky A. // Phosphorus, Sulfur and Silicon. -1999. -**144-146**. -P. 729—732.
3. Niecke E., Flick W. // Angew. Chem. -1973. -**85**, № 13. -S. 586—587.
4. Scherer O.J., Kuhn N. // J. Organometal. Chem. -1974. -**92**, № 1. -P. C3—C6.
5. Mazerolles M., Gregoire F. // Synth. react. Inorg. met-chem. -1986. -**16**. -P. 905.
6. Брусиловец А.И. // Докл. АН УССР. -Сер. Б. -1998. -№ 2. -С. 39—41.
7. Брусиловец А.И., Русанов Э. Б., Чернега А.Н., Бджола В.Г. // Журн. общ. химии. -1996. -**66**, № 2. -С. 228—232.
8. Брусиловец А.И., Трачевский В.В. // Там же. -1990. -**60**, № 7. -С. 1676—1678.